

УДК 537.635:538.113:548.737:552.578.3

## СПЕКТРЫ ЭПР КОМПЛЕКСОВ V(IV) И СТРУКТУРА НЕФТЯНЫХ ПОРФИРИНОВ

© 2008 Л.Г. Гилинская\*

Институт геологии и минералогии СО РАН, Новосибирск

Статья поступила 19 июня 2007 г.

В природных битумоидах изучено влияние структуры ванадилпорфириновых комплексов на спектры ЭПР. Неоднозначность проявления суперверхтонкой структуры от четырех атомов азота в спектрах нефтяных ванадилпорфиринов (ее присутствие либо отсутствие) коррелирует с изменениями во второй координационной сфере ближайшего окружения иона металла, а именно в метиновых мостиках.

**Ключевые слова:** структура порфиринов, комплексы ванадил-иона, спектры ЭПР, фракции природных битумоидов.

### ВВЕДЕНИЕ

Природное органическое вещество (OB) осадочных пород, концентрированное (нефть) и рассеянное (битумоид), является сложным соединением, в котором основную массу составляют углеводороды (80–87 % — углерод, 11–14 % — водород) и меньшую — гетероатомы (ГА, %: сера — 0,01–5, азот — 0,04–6, кислород — 0,2–3). Другие элементы, в том числе металлы, составляют в сумме менее 1 %. К ним относится большая часть элементов периодической системы элементов Д.И. Менделеева (~60), названных В.И. Вернадским "микроэлементами": V, Ni, Fe, Co, Cr, Zn, As и др., содержание которых в OB мало ( $10^{-1}$ – $10^{-7}$  %). Наряду с активным изучением основного молекулярного состава OB, микроэлементы являются постоянным объектом пристальных исследований, необходимость которых диктуется несколькими аспектами: геолого-геохимическим, промышленно-сырьевым, технологическим и экологическим [1, 2].

Ванадий занимает первое место среди присутствующих в нефти "биогенных" элементов; количество его, как и двух других элементов первой тройки (V, Ni, Fe), относительно больше остальных ( $10^{-1}$ —V, Ni,  $10^{-2}$ —Fe). Ванадий и никель тесно связаны с органическим веществом, из которого образовалась нефть; их концентрации, как показывают исследования, зависят от типа OB, возраста и его состава, изменяются при вторичных процессах нефтеобразования — катагенезе, биодеградации и миграции [3]. Т.е. ванадий и никель являются важными генетическими метками при решении геолого-генетических проблем нефтяной геологии.

В 1934 г. А. Трейбсом [4] было высказано предположение о нахождении ванадия в нефтях в виде порфириновых комплексов. После открытия метода ЭПР (1944 г.) достоверно была установлена форма вхождения ванадия в нефть — это  $V^{4+}$ , образующий с кислородом комплекс — ванадил ( $V^{4+} + O^{2-} \rightarrow VO^{2+}$ ,  $3d^1$ ,  $S = 1/2$ ), и его местоположение — порфирины [5]. До сих пор ванадилпорфирины являются единственными структурно идентифицированными металлокомпонентами нефти.

Типичный спектр ЭПР ванадилпорфириновых комплексов в растворах является изотропным и состоит из восьми сверхтонких линий от ядра  $^{51}V$  ( $J = 7/2$ ). В замороженных растворах (77 K) и в твердых компонентах нефти (асфальтенах, смолах) спектр имеет аксиальную сим-

\* E-mail: lgilinskaya@uiggm.nsc.ru

метрию и состоит из 16 линий сверхтонкой структуры (СТС). Во многих публикациях приведены спектр  $\text{VO}^{2+}$  и его параметры и показано, что последние практически не изменяются у нефти и их фракций с существенно отличающимися свойствами — разным групповым углеводородным составом и физико-химическими особенностями; различия не превышают абсолютных погрешностей определения [ 6—11 ].

Кроме ванадила в нефти регистрируется свободный органический радикал (СР), представленный в спектре ЭПР одиночной изотропной линией ( $S = 1/2$ ) с неразрешенной сверхтонкой структурой, возникающей в результате взаимодействия неспаренного электрона с окружающими протонами. Величина  $g$ -фактора органического радикала чаще всего близка к  $g_e = 2,0023$ , а ширина линии изменяется в пределах  $\Delta H = 0,4—0,7$  мГл для образцов разного состава. Второй изменяющейся величиной СР является интегральная интенсивность поглощения (концентрация) —  $N_x$  (спин/г).

По современным представлениям парамагнетизм СР обусловлен электроном, локализованным на разорванной связи в боковых ответвлениях конденсированных углеродных колец ароматических структур [ 11 ]. Разрыв связей в ароматических структурах можно представить как результат термического расщепления связи углерод-водород в процессе образования углеродных колец. Отрыв боковых групп от кольца приводит к образованию новых связей C—C, что способствует росту системы колец. В качестве причин отрыва боковых групп можно назвать следующие процессы: дегидроксилирование — отрыв OH-групп, деметилирование — отрыв метильных групп, разрыв алифатических цепей при тепловых колебаниях связей углерод—водород и др.

Практическое использование данных ЭПР при анализе нефти и нефтепродуктов сводится к определению концентраций ванадилпорфиринов и органического радикала, которые коррелируют с условиями образования, палеоклиматическими данными, а также с наложенными преобразованиями. Однако до сих пор имеется ряд невыясненных вопросов, разногласий при анализе спектров ЭПР ванадилпорфиринов, решение которых представляет интерес с точки зрения теории радиоспектроскопии и химии координационных соединений, а также, на наш взгляд, может расширить применение данных метода в нефтяной геологии. 1) До сих пор не конкретизировано, с какими видами порфириновых структур (гомологами) связан ванадий в природных образованиях. Эти знания важны, так как каждому нефтеносному району свойственна определенная металлопорфириновая характеристика. 2) В ванадилпорфиринах отмечается неоднозначность проявления суперсверхтонкого расщепления линий спектра ЭПР ванадила от четырех атомов азота, которое можно было ожидать, исходя из его структурной позиции в порфиринах. В природных образцах (асфальтенах) оно не наблюдалось, как показали многочисленные исследования [ 6, 9, 10, 12, 13 ]. Только специальное обогащение природных асфальтеноов синтетическими порфиринами позволило зарегистрировать характерную картину расщепления линий спектра ванадила от атомов азота и определить параметр  $a_N$  [ 14 ]. В модельных порфиринах суперсверхтонкая структура (ССТС) также наблюдалась не всегда [ 5, 15 ]. Настоящее исследование было предпринято с целью решения этих проблем, возникших при анализе природных объектов.

Исследования показали, что не только сами нефти и битумоиды, но и их гетероциклические компоненты — асфальтены, асфальтогенные кислоты, смолы (бензольные, спирто-бензольные) — являются носителями генетической информации, и поэтому используются при решении проблем поиска, добычи и переработки нефти, а также при теоретических построениях [ 16—19 ]. Известные к настоящему времени методики позволяют выделять эти компоненты в виде поликристаллических твердых тел, изучение спектров ЭПР которых исключает зависимость формы и ширины линии от вязкости образца, дает возможность наблюдать более информативные анизотропные спектры при комнатной температуре, тем самым повысить достоверность и надежность результатов, особенно при оценке концентрации парамагнитных центров.

В настоящем сообщении приведены результаты изучения индикаторных особенностей спектров ЭПР комплексов ванадия в четырех твердых компонентах (фракциях) рассеянного органического вещества (битумоидов) из нефтепроизводящих пород Западной и Восточной

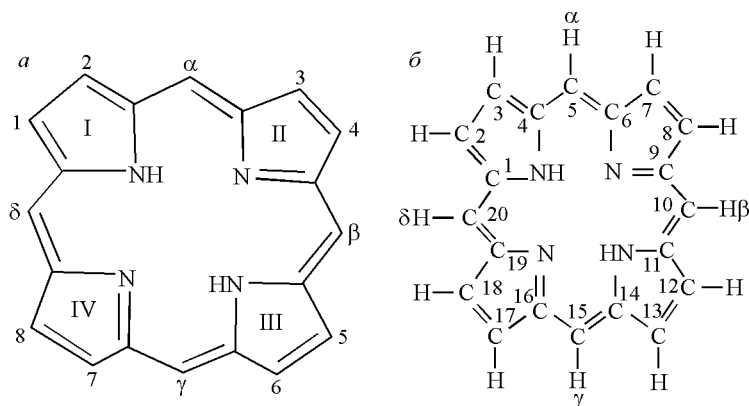


Рис. 1. Структурная формула порфина: *a* — I—IV — пиррольные кольца в ядре порфина, 1—8 — атомы ядра,  $\alpha$ ,  $\beta$ ,  $\gamma$ ,  $\delta$  — атомы метиновых мостиков, соединяющих пиррольные кольца; *b* — углеводородное обрамление

Сибири, выделенные по известным методикам [ 20—22 ] в лаборатории органической геохимии ИНГГ СО РАН и проходящие ЭПР-анализ в АЦ ИГМ СО РАН.

#### СОСТАВ И СТРУКТУРА ПОРФИРИНОВЫХ КОМПЛЕКСОВ НЕФТЕЙ

В основе структуры порфирина лежит порфин — структура из четырех колец пиррола, соединенных друг с другом ненасыщенными метиновыми мостиками (рис. 1, *a*). Нефтяные порфирины представляют собой смесь порфириновых молекул, различающихся между собой, по крайней мере, двумя показателями — степенью цикличности связанного с порфинным ядром углеводородного обрамления и количеством алкильных атомов углерода в молекуле (см. рис. 1, *b*). Вариации степени цикличности заместителей у порфинного ядра нефтяных порфиринов весьма ограничены. Основная масса порфиринов (80—95 %) практически в любой нефти представлена двумя структурами — алкилпорфиринами, ряд M, I, рис. 2, и моноциклоалканопорфиринами, ряд M-2, II, см. рис. 2), имеющими массу на 2 единицы меньше и содержащими углеродный мостик, соединяющий пиррольное и соседнее с ним мезоположение. Соотношение соединений с такими структурными различиями меняется, как правило, от нефти к нефти, концентрация их выражается величинами одного порядка.

Гораздо меньше порфиринов (5—10 %) имеют в своей основе более конденсированные порфириновые соединения — так называемые второстепенные (minor) гомологические ряды с дефицитом в 4, 6 и 8 единиц массы по отношению к алкилпорфиринам (I). Этим соединениям приписаны структуры бициклоалканопорфиринов (III), бензопорфиринов (IV), циклоалканомонобензопорфиринов (V) [ 1, 23 ]. Среди порфиринов биологического происхождения соединения с такими структурными особенностями не обнаружены.

Металлопорфирины, имеющие в основе все пять перечисленных структур, представлены в нефти в виде непрерывных изобарических серий. Начальные их члены содержат обычно 5—7 алкильных атомов углерода в боковых заместителях порфинного цикла, конечные — до 25—30. Максимальное содержание в каждом ряду приходится обычно на гомологи с 10—13 алкильными углеродными атомами [ 1 ].

Кроме того, в нефти обнаружены ванадилпорфирины с еще большей степенью конденсированности. Соединения ряда M-10 соответствуют, вероятно, по мнению авторов работы [ 24 ], циклоалканопорфиринам, содержащими нафтено-ароматический фрагмент (VI), либо бициклоалканобензопорфиринам (VII). Соединения ряда M-12 представляют собой дibenзопорфирины с соседним (VIII) и / или противоположным расположением бензоциклов. Эти порфирины с повышенной ароматичностью, так же как и в других рядах, представлены непрерывными наборами гомологов.

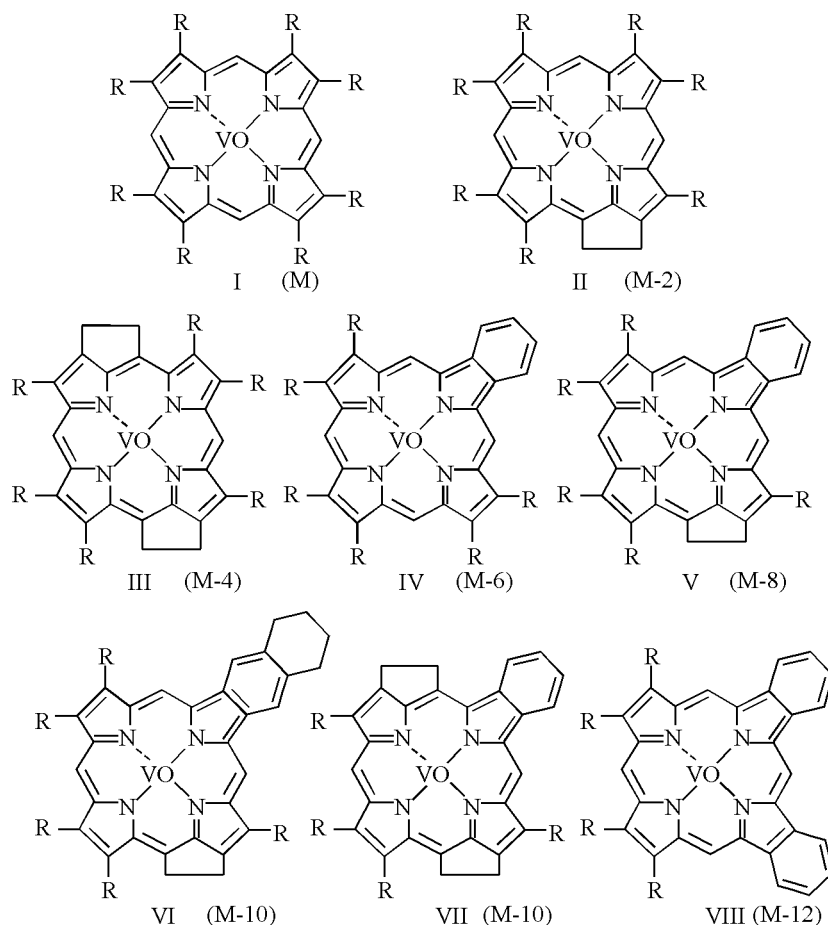


Рис. 2. Структуры нефтяных порфиринов. R — атом водорода или алкильный заместитель с длиной углеродной цепи от  $C_1$  до  $C_{12-15}$  [24]

#### МАТЕРИАЛЫ И МЕТОД ИССЛЕДОВАНИЯ

Образцы для исследования были представлены твердыми гетероциклическими компонентами битумоидов из нефтепроизводящих пород различных месторождений Западной и Восточной Сибири — асфальтенами, асфальтогеновыми кислотами, смолами (спирто-бензольными и бензольными). Спектры ЭПР изучены при  $T = 77, 290$  К на радиоспектрометре Radiopan SE/X 2544 ( $\lambda = 3,2$  см,  $f_{\text{мод}} = 100$  кГц) с двойным резонатором. В один резонатор помещали исследуемый образец, а в другой — эталон  $MgO$  с  $Mn^{2+}$ , позволяющий контролировать условия записи спектра и вводить корректирующие коэффициенты при расчете концентрации регистрируемых парамагнитных центров, которую определяли с помощью эталона  $CuCl_2 \cdot 2H_2O$  с известным количеством спинов.

#### РЕЗУЛЬТАТЫ И ИХ ОБСУЖДЕНИЕ

На рис. 3, *a* представлен спектр ЭПР, зарегистрированный в изученных фракциях битумоидов. Характерный анизотропный, аксиально-симметричный спектр комплексов ванадила из 16 сверхтонких линий имел во всех четырех фракциях одинаковые параметры ЭПР (табл. 2), совпадающие с ранее определенными для природных образцов, но различную интенсивность.

В табл. 1 приведены концентрации ( $N_x$ ) комплексов ванадила и всегда сопутствующего ему в природных образцах свободного органического радикала (СР). Наибольшие значения  $N_x$  иона ванадила отмечены в асфальтогеновых кислотах, близкие к ним в асфальтенах и существенно меньшие в смолах, особенно (иногда на порядок) в бензольных. Такое распределение ванадил-порфиринов по фракциям встречается чаще всего в природных образцах, но иногда наибольшая

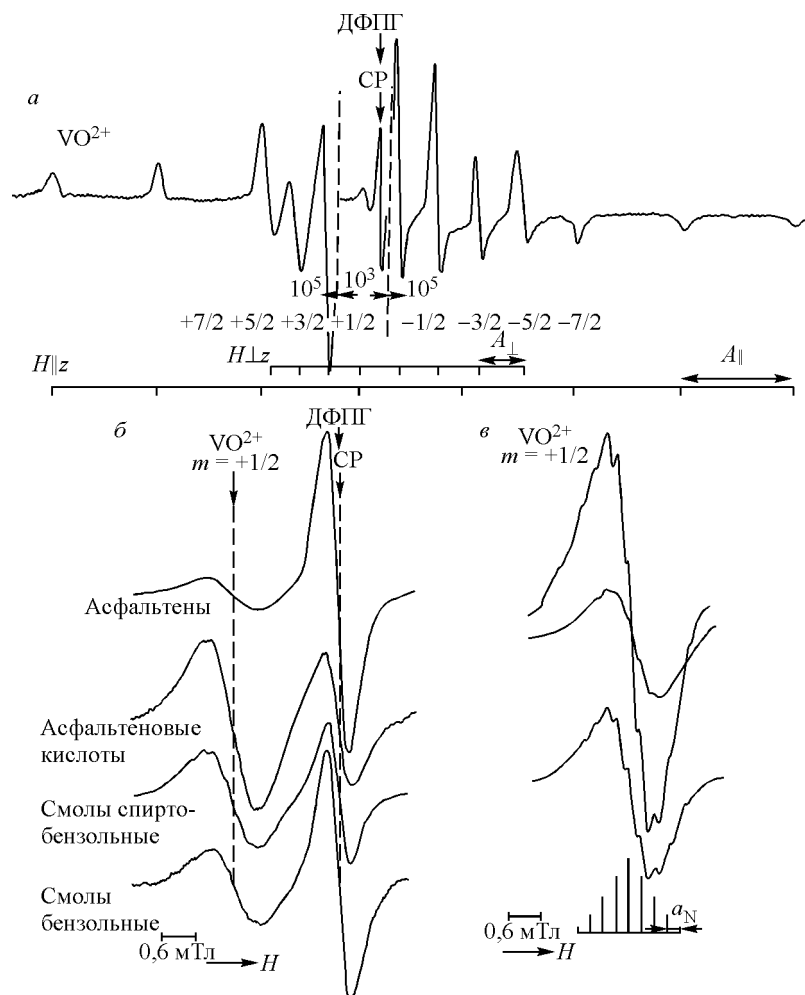


Рис. 3. Спектр ЭПР комплексов V(IV) во фракциях битумоидов — а; фрагменты спектров — соотношение линии  $m = +1/2$  спектра ванадила и линии СР в четырех фракциях — б; линия  $m = +1/2$  спектра  $\text{VO}^{2+}$  в спирто-бензольных смолах при разных условиях записи и теоретическая схема ССТС от четырех атомов  $^{14}\text{N}$  — в

концентрация ванадила наблюдается в асфальтенах, что, по-видимому, обусловлено отличиями литологических параметров.

Изменение интенсивности СР обнаружило закономерность — уменьшение в ряду асфальтен (А) → асфальтогеновая кислота (А.к.) → смола спирто-бензольная (С. с.-б.) → смола бензольная (С. б.). Наибольшая величина  $N_x$  СР отмечается всегда для асфальтенов; особенно существенно ее изменение при переходе А → А. к. (чаще всего от 5 до 10 раз). Такое характерное соотношение между фракциями для СР наблюдается всегда независимо от литологии, места взятия пробы и типа ОВ. Это приводит к изменению соотношения интенсивностей линии  $m = +1/2$  спектра ванадила и СР во фракциях, как показано на рис. 3, б.

В спектрах смолистых фракций обнаружена характерная особенность — ССТС от четырех атомов азота, что проявилось как расщепление самой интенсивной линии спектра  $m = +1/2$  иона ванадила на девять с отношением интенсивностей 1:4:10:16:19:16:10:4:1 с изотропной константой ССТС  $a_N = 0,28 \text{ мTл}$  (см. рис. 3, в). На других линиях спектра расщепление не проявлялось. Эта особенность спектра свидетельствует о локализации иона ванадила в порфириновом кольце, где, согласно структуре последнего, его ближайшими соседями являются четыре атома азота  $^{14}\text{N}$ . Такой "достоверно порфириновый", с отчетливым расщеплением линий спектр всегда наблюдался в спирто-бензольных смолах при комнатной температуре. В асфальтенах, асфальтогеновых кислотах и бензольных смолах наблюдались только нерасщепленные линии спектров

Таблица 1

Концентрация комплексов  $\text{VO}^{2+}$  ( $N_x \cdot 10^{18}$ , отн. ед.)\* и органического радикала СР ( $N_x \cdot 10^{18}$  спин/г) в четырех фракциях битумоидов из нефтепроизводящих пород

Номер образца	Асфальтены		Асфальтогеновые кислоты		Смолы Спирто-бензольные		Смолы Бензольные	
	$\text{VO}^{2+}$ (I тип)	СР	$\text{VO}^{2+}$ (I тип)	СР	$\text{VO}^{2+}$ (II тип)	СР	$\text{VO}^{2+}$ (I тип)	СР
1	3,70	3,53	3,30	0,34	1,49	0,26	+	0,27
2	5,89	4,37	12,39	0,75	2,24	0,49	+	0,33
3	5,35	5,62	7,16	1,03	3,73	0,11	+	0,45
4	17,69	0,44	13,86	0,05	0,10	0,50	0,26	0,05
5	4,99	3,42	7,24	0,36	2,91	0,26	0,04	0,18
6	5,51	2,37	11,95	0,62	5,68	0,30	+	0,32
7	2,82	2,79	6,04	0,75	3,12	0,12	+	0,16
8	1,13	5,47	1,88	0,72	0,56	0,27	+	0,15
9	6,12	5,18	13,03	0,71	5,21	1,44	+	0,48
10	5,59	4,08	5,57	1,34	1,55	0,67	0,09	0,29

\* Оценка интегральной интенсивности по линии  $m = -7/2$  ( $\times 8$ ) ориентации  $H \perp z$ , Образцы № 1-6 из месторождения Западной, № 7-10 — Восточной Сибири.

комплексов ванадила. Съемка спектров при 77 К не изменила по существу наблюдаемую картину — параметры остались прежними, расщепления линий от четырех ядер азота проявилось также только в спирто-бензольных смолах. Отмеченные особенности позволяют говорить о существовании в изученных фракциях двух спектров иона ванадила в подобных структурных комплексах (константы СТС одинаковы), имеющих в своей основе молекулу порфирина, но отличающихся, по-видимому, второй сферой окружения.

При изучении модельных (синтетических) ванадилпорфиринов разных типов также была отмечена неоднозначность проявления в спектрах СТС от атомов азота: в этиопорфиринах I [5] и II [25] она не наблюдалась, а в тетрафенилпорфиринах, в разных замороженных растворах ( $\text{CS}_2$ ,  $\text{CHCl}_3$ , THF) отчетливо было зарегистрировано суперсверхтонкое расщепление и определены его параметры:  $A_{||}^{(\text{N})} = 2,9 \pm 0,05$  Гс,  $A_{\perp}^{(\text{N})} = 2,8 \pm 0,05$  Гс [15]. Структуры этих порфиринов различаются между собой (см. рис. 1, a) заместителями в пиррольных кольцах (ЭП I, ЭП II) и в метиновых мостиках (ТФП), как представлено в табл. 2, т.е. во второй сфере окружения иона ванадила.

Таблица 2

Структура порфиринов\*

Порфирины	Заместители в пиррольных кольцах								Заместители в метиновых мостиках			
	1	2	3	4	5	6	7	8	$\alpha$	$\beta$	$\gamma$	$\delta$
Порфин	H	H	H	H	H	H	H	H	H	H	H	H
Этиопорфирин I	M	Э	M	Э	M	Э	M	Э	H	H	H	H
Этиопорфирин II	M	Э	Э	M	M	Э	Э	M	H	H	H	H
Тетрафенилпорфирин	H	H	H	H	H	H	H	H	Ф	Ф	Ф	Ф

\* Данные из табл. 1 ссылки [23], М-метил ( $-\text{CH}_3$ ), Э-этил ( $-\text{CH}_2\text{CH}_3$ ), Ф-фенил ( $-\text{C}_6\text{H}_5$  OH), Н-водород.

Таблица 3

## Параметры спектров ЭПР ванадилпорфиринов

Соединение	$A_{  }$ (см <sup>-1</sup> )	$A_{\perp}$ (см <sup>-1</sup> )	$g_{  }$	$g_{\perp}$	CCTC от $^{14}\text{N}$	Ссылка
ЭП I	0,0159	0,0052	$1,948 \pm 0,009$	$1,987 \pm 0,005$	—	5
ЭП II	0,0158	0,0054	$1,947 \pm 0,004$	$1,989 \pm 0,005$	—	25
ТФП * $\begin{cases} \text{CS}_2 \\ \text{THF} \\ \text{CHCl}_3 \end{cases}$	$0,0159 \pm 1,6$	(0,0058)	$1,961 \pm 0,001$	$1,988 \pm 0,001$	+	
	$0,0159 \pm 1,5$	$0,0054 \pm 0,6$	$1,964 \pm 0,001$	$1,989 \pm 0,001$	+	15
	$0,0161 \pm 0,6$	(0,00517)	$1,964 \pm 0,001$	$1,988 \pm 0,001$	+	
Нефть. асф.	0,0156	0,0056	1,945	1,985	—	6
Нефть. асф.	0,0156	0,00528	1,9637	1,9837	—	9
Нефть	0,0159	0,00523	1,9529	1,9817	—	10
Нефть. асф., см.	0,0157	0,0056	1,968	1,987	—	12
Битумоид	$0,0159 \pm 1,8$	$0,0051 \pm 1,8$	$1,966 \pm 0,002$	$1,988 \pm 0,002$	—	26
Битумоид $\begin{cases} \text{Асф.} \\ \text{Асф. кисл.} \\ \text{См. сп. - бенз.} \\ \text{См. бенз.} \end{cases}$	$0,0157 \pm 1,5$	$0,0054 \pm 1,5$	$1,964 \pm 0,002$	$1,983 \pm 0,002$	—	
					+	Наст. раб.
					—	
					—	

Сокращения: ЭП — этиопорфирин, ТФП\* — тетрафенилпорфирин в замороженных растворах CS<sub>2</sub>, CHCl<sub>3</sub>, THF, Асф. — асфальтены, Асф. кисл. — асфальтогенные кислоты, См. сп.-бенз. — смолы спирто-бензольные, См. бенз. — смолы бензольные.

Детальный анализ электронной структуры первоначально ванадил-иона, выполненный Бальхаузеном и Греем [27] в рамках теории кристаллического поля и методом МО ЛКАО, а затем и ванадилпорфирина методом МО ЛКАО, приведенный в работе Кивелсона и Ли [15], позволил объяснить экспериментальные параметры ЭПР и оптических спектров. Была предложена схема энергетических уровней МО орбиталей ванадилпорфиринового комплекса, преобразующихся по неприводимым представлениям группы симметрии  $C_{4v}$ .

Связь V—O в комплексе является определяющей; это сильная  $\sigma$ -связь (симметрия  $a_1$ ) между  $sp_{\sigma}$ -гибридной орбиталью кислорода и  $(4s + 3d_z^2)$ -гибридной орбиталью ванадия. Неспаренный электрон в комплексе находится в антисвязывающей  $b_{2g}^*$ -орбитали, которая полностью локализована на ванадии в его  $d_{xy}$ -атомной орбитали (в приближении слабой  $\pi$ -связи в плоскости атомов азота). Первым и вторым возбужденными состояниями являются МО  $e_{\pi}^x$  и  $b_{1g}^*$  соответственно [15]. Как видно из табл. 3 спиновая плотность на атомах азота отсутствует, и CCTC от них в спектрах ЭПР не должна наблюдаться, что и отмечалось в большинстве экспериментальных случаев (в природных асфальтенах, в модельных этиопорфиринах I, II). Регистрация изотропной CCTC от азота в тетрафенилпорфиринах объясняется конфигурационным взаимодействием, присутствием электрона в возбужденных состояниях, с главным вкладом от возбуждения  $b_{1g}^2 b_{2g}^* \rightarrow b_{1g} b_{1g}^* b_{2g}^*$ , где МО орбитали  $b_{1g}$  и  $b_{1g}^*$  (связывающая и антисвязывающая) включают атомную орбиталь ванадия  $d_{x^2-y^2}$  и гибридные ( $sp^2$ )  $\sigma_i$  — орбитали атомов азота, направленные к ядру ванадия [15].

В структуре тетрафенилпорфиринов в метиновых мостиках присутствуют четыре фенильных (C<sub>6</sub>H<sub>5</sub>OH) кольцевых группы, которые, по-видимому, влияют на параметры ванадилпорфирина, изменяют расстояния между атомами, в частности, от ванадия до эквивалентных пиррольных атомов азота,  $d(V-N)$ . Расстояние V—O = 1,59 Å в ионе ванадила, а между ванадием

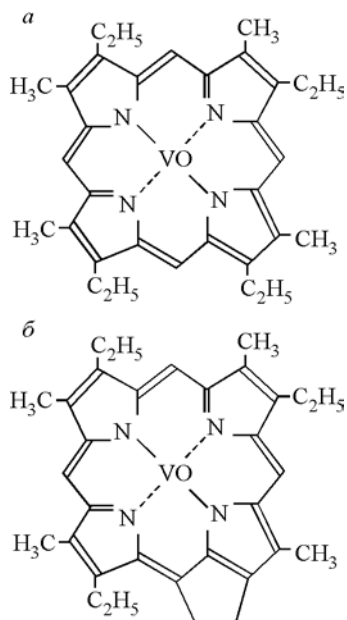


Рис. 4. Структурные формулы комплексов ванадила: *а* — этиопорфирина (М), *б* — дезоксофиллоэритропорфирина (М-2)

и пиррольными атомами азота в порфиринах  $d(V—N) = 1,9 \text{ \AA}$  [ 15 ]. Исследователи отмечали, что молекула порфирина способна незначительно расширяться в случае вхождения в структуру крупного иона металла (платина) [ 28 ] или сжиматься при введении небольшого катиона ( $\text{Mg}$ ,  $\text{Ni}$  и др.) [ 29 ]. Сообщалось об изменении величины  $d(V—N)$  от 0,28 до 0,65  $\text{\AA}$  в хелатах [ 14 ]. Все четыре пирроловых кольца в молекуле находятся в одной плоскости, однако появление пятого карбоциклического кольца (как в случае хлорофилла) деформирует основное порфириновое ядро [ 30 ]. Коэффициенты в волновых функциях МО, интегралы перекрывания  $S$  являются функциями величины  $d(V—N)$ , т.е. можно полагать, что изменения во второй сфере окружения в порфириновом комплексе изменяют картину распределения спиновой плотности неспаренного электрона, обуславливают появление возбужденных конфигураций, так что наблюдение ССТС от атомов азота становится возможным.

В природных нефтях основная часть порфириновых комплексов, как указано выше, приходится на два ряда — алкилпорфирины (М) и циклоалканпорфирины (М-2), содержащие изоциклическое кольцо (рис. 4). Литературные данные масс-спектрометрического анализа нефтяных порфиринов, электронные спектры поглощения свидетельствуют о том, что доля этих двух рядов нефтяных порфиринов является наибольшей по сравнению с долей более конденсированных порфириновых соединений, второстепенных гомологических рядов (М-4, М-6 и др.) [ 13, 31 ]. Именно они имеют биологических предшественников (хлорофилл, гемин). Соотношение порфиринов гомологических рядов М и М-2 в нефтях различное, зависит от состава, но чаще всего  $(\text{M-2})/\text{M} < 1$  [ 32 ]. Оценка относительного содержания гомологов М и М-2 в нефтях по интенсивности полосы Соре (398 нм) в электронных спектрах поглощения дает соответственно 60 и 40 % [ 31 ]. Принимая во внимание данные этих исследований, можно полагать, что спектр ЭПР без ССТС, нерасщепленный в асфальтенах, асфальтогеновых кислотах и бензольных смолах обусловлен комплексами ванадила в этиопорфиринах (М), а отчетливо расщепленный в спирто-бензольных смолах — комплексами в дезоксофиллоэритроэтиопорфиринах (М-2). Ближайшее окружение комплексов  $\text{VO}^{2+}$  в них аналогично (см. рис. 4) — отсюда идентичность параметров СТС, а дополнительная ССТС проявляется только в одном из них (как при 290 К, так и при 77 К), что может быть обусловлено отличием во второй координационной сфере, присутствием изоциклического кольца в порфиринах (М-2). В табл. 1 спектры  $\text{VO}^{2+}$  обозначены как тип I и II в гомологах М (нерасщепленный) и М-2 (расщепленный) соответственно.

Как отмечалось ранее [ 9 ], близость параметров СТС в спектрах ЭПР (различия в пределах ошибки измерений, см. табл. 3) не позволяет использовать их для идентификации типов порфиринов в исследуемых природных образцах. Однако изучение фракций показало, что причина неоднозначности проявления в спектрах ЭПР различных ванадилпорфиринов ССТС от атомов азота (ее присутствие либо отсутствие) заключена в их структурных особенностях, изменениях во второй сфере окружения иона ванадила, т.е. присутствием его в разных гомологах, а именно в М-2 и М соответственно.

Заметим, что замена лигандов ванадила в первой сфере окружения, например, двух атомов азота на два атома кислорода, как, например, в случае модельных  $\beta$ -кетаминов, изменяет параметры СТС существенно ( $A_{\parallel} = 18,3—17,6 \text{ A}_{\perp} = 6,4—6,1 \text{ мTl}$ ) [ 33 ].

Характер изменения параметров спектров ЭПР иона ванадила при изменении его координационного окружения рассмотрен в многочисленных публикациях [ 34, 35 ]. Это второй после  $\text{Cu(II)}$  наиболее изученный комплекс переходных ионов-металлов в водных растворах. Кстати, отмечено, что ион ванадила в окружении четырех атомов азота в разных замороженных раствор-

рах также не обнаруживает CCTC от  $^{14}\text{N}$  [ 15 ], что соответствует предложенной для него схеме энергетических уровней [ 27 ]. Исследования же ванадилпорфиринов в различных средах ( растворах ) немногочисленны, чем можно объяснить неразрешенность вопроса об CCTC на ядрах  $^{14}\text{N}$  до сих пор.

Изученные нефтяные ванадилпорфириновые комплексы входят в состав сложных природных органических соединений (нефть, битумоиды), что предполагает их взаимодействие по  $\pi$ -типу с различными молекулярными структурами, в частности, с ароматическими слоями [ 14, 15 ]. Предполагалось, что этим взаимодействием можно объяснить изменение величины  $d(\text{V}—\text{N})$  и, как следствие, наблюдение CCTC в спектре ЭПР [ 14 ]. Однако сравнительный анализ концентраций органического CP, отражающих степень ароматичности образцов, и комплексов ванадилпорфиринов в четырех фракциях (см. табл. 1) показал, что индикаторные особенности спектра — проявление CCTC обусловлены изменениями в структуре, а именно во второй координационной сфере, наличием изоциклического кольца в гомологах M-2 природных порфиринов и фенильной группы в метиновых мостиках синтетических тетрафенилпорфиринов [ 15 ]. Даже самое существенное ( $\sim$  в 10 и более раз) различие концентраций CP в асфальтенах и асфальтогеновых кислотах не сопровождается изменениями параметров спектра, проявлением CCTC в асфальтенах. При анализе элементного состава фракций и наблюдался эффекта в спектрах ЭПР корреляции с величиной атомного отношения H/C в них нами также не обнаружено.

Исследования нефтей, битумоидов и их фракций (асфальтенов в большинстве опубликованных случаев), керогенов методом ЭПР показали взаимосвязь парамагнитных центров с составом матрицы. Параметры ЭПР органического радикала (величина  $g$ -фактора,  $\Delta H$ ,  $N_x$ ) изменяются в зависимости от типа органического вещества, от степени его преобразованности, от количества алифатических и ароматических мотивов (отношение H/C), используются для оценки палеогеотермальных градиентов и др. [ 36, 37 ].

Спектры комплексов  $\text{V}^{4+}$  (ванадила  $\text{VO}^{2+}$ ) свидетельствуют о присутствии в матрице порфиринов, которые являются биомаркерами, используемыми для диагностики нефтематеринских отложений. Ванадилпорфирины являются устойчивыми, стабильными комплексами, поэтому данные об их количественном содержании, в первую очередь, успешно используются при решении многих задач нефтяной геологии: при относительной оценке продуктивности залежей, изучении их геологического строения, для определения гидродинамической связи между пластами, стратификации нефтей, а также других задач, возникающих при поисках, разведке и разработке нефтяных месторождений [ 31 ].

Полученные в настоящей работе результаты дают возможность по наличию либо отсутствию в спектре CCTC от атомов азота определять тип порфиринов во фракциях (M, M-2), а главное, оценивать их соотношение (M-2)/M, которое характеризует окислительно-восстановительные условия генерации нефтей либо изменение температуры на стадии катагенеза. Заметим, что все отмеченные в настоящей работе особенности спектров ЭПР, а именно, распределение порфиринов по фракциям, регистрация CCTC от атомов азота в спектре ванадила в спирто-бензольных смолах, характеристическое изменение концентрации органического радикала, коррелирующей с ароматичностью фракций, наблюдаются и для фракций природных нефтей. Установленные закономерности в спектрах ЭПР были апробированы на большой коллекции фракций природных битумоидов и нефтей ( $\sim$  600 образцов), результаты анализа которых вместе с геолого-геохимическими данными образцов составят предмет соответствующей публикации. Можно полагать, что экспериментальные результаты настоящей работы получат практическое применение в геолого-геохимических исследованиях, а также послужат основой для дальнейших теоретических расчетов сложных координационных комплексов, какими являются природные ванадилпорфирины.

## ВЫВОДЫ

- Структура порфириновых комплексов коррелирует с характеристической особенностью спектра ЭПР ванадил-иона в природных битумоидах — наличием или отсутствием суперсверхтонкого расщепления на ядрах четырех атомов азота.

2. Изменения во второй координационной сфере окружения иона ванадила, а именно замещения в метиновых мостиках порфиринов по сравнению с замещениями в пиррольных кольцах, наиболее существенно изменяют картину распределения спиновой плотности неспаренного электрона, способствуют появлению возбужденных конфигураций, приводящих к ССТС в спектре.

3. По наличию или отсутствию ССТС в спектрах ЭПР фракций природных битумоидов и нефлей можно определять тип порфирина (M, M-2), соотношение которых является важным параметром окислительно-восстановительных условий генерации нефтей.

#### СПИСОК ЛИТЕРАТУРЫ

1. Надиров Н.К., Котова А.В., Камынов В.Ф. и др. Новые нефти Казахстана и их использование: Металлы в нефтях. – Алма-Ата: Наука, 1984.
2. Пунанова С.А. // Геохимия. – 2004. – № 8. – С. 959.
3. Пунанова С.А. // Там же. – 1998. – № 9. – С. 893.
4. Treibs A. // Ann. Chem. – 1934. – Bd. 509. – S. 103.
5. O'Reilly D.E. // J. Chem. Phys. – 1958. – 29, N 5. – P 1188.
6. Ильясов А.В., Гарифьянов Н.С., Рыжманов Ю.М. // Химия и технология топлив и масел. – 1961. – № 1. – С. 28.
7. Saraceno A.J., Fanale D.T., Coggesshall N.D. // Anal. Chem. – 1961. – 33, N 4. – P. 500.
8. Roberts E.M., Rutledge R.L., Wehner A.P. // Ibid. – 1961. – 33, N 13. – P. 1879.
9. Маров И.Н., Беляева В.К., Герлит Ю.Б. и др. // Геохимия. – 1972. – № 1. – С. 20.
10. Савкевич С.С., Богачев Ю.В., Дергачева Л.П., Драпкин В.З. // Труды ВНИГРИ. – Л., 1980.
11. Алексеев Б.Ф., Белоногов А.М., Богачев Ю.В. Магнитный резонанс при изучении природных образований. – Л.: Недра, 1987.
12. Алтухова З.П., Антипенко В.Р., Марченко С.П. Изучение состава и свойств компонентов нефтей Нижневартовского свода. / Сб. научн. труд. Ред. Г.Ф. Большаков – Томск, 1984.
13. Yen T.F., Bocher L.J., Dickie J.P. et al. // J. Inst. Petrol. London. – 1969. – 55, N 542. – P. 87.
14. Yen T.F. // Naturwissenschaften. – 1971. – 58, N 5. – S. 267.
15. Kivelson D., Lee S.K. // J. Chem. Phys. – 1964. – 41, N 7. – P. 1896.
16. Конторович А.Э., Борисова Л.С., Стрехлетова Е.П. // Геохимия. – 1995. – № 6. – С. 853.
17. Конторович А.Э., Борисова Л.С. // Геология и геофизика. – 1989. – № 3. – С. 28.
18. Конторович А.Э., Борисова Л.С. // Геохимия. – 1994. – № 11. – С. 1660.
19. Bakr M., Akiyama M., Sanada Y., Yokono T. // Org. Geochem. – 1986. – 9, N 6. – P. 321.
20. Руководство по анализу битумов и рассеянного органического вещества горных пород (для лабораторий геологоразведочных организаций). / Под ред. В.А. Успенского, К.Ф. Родионовой, А.И. Горской, А.П. Шишковой. – Л.: Недра, 1966.
21. Современные методы анализа в органической геохимии. / Ред. А.Э. Конторович. – Новосибирск: СНИИГГиМС, 1973.
22. Методы битуминологических исследований. / Под ред. В.А. Успенского. – Л.: Недра, 1975.
23. Абызгильдин Ю.М., Михайлюк Ю.И., Яруллин К.С., Ратовская А.А. Порфирины и металлопорфириновые комплексы нефтей. – М.: Наука, 1977.
24. Антипенко В.Р., Певнева Г.С., Титиов В.И. // Докл. АН СССР. – 283, № 3. – С. 626.
25. Roberts E.M., Koski W.S., Caughey W.S. // J. Chem. Phys. – 1961. – 34. – P. 591.
26. Чиченов В.А., Маров И.Н., Беляева В.К. и др. // Геохимия. – 1975. – № 1. – С. 112.
27. Ballhausen C.J., Gray H.B. // Inorg. Chem. – 1962. – 1, N 1. – P. 111.
28. Tomonura S. // Chem. Ind. – 1955. – 8. – P. 505.
29. Crute M.B. // Acta Crist. – 1959. – 12. – P. 24.
30. Серебренникова О.В., Белоконь Т.В. Геохимия порфиринов. – Новосибирск: Наука, 1984.
31. Насиров Р.Н. Парамагнетизм нефтей и пород Прикаспия. – М.: Недра, 1993.
32. Шилоносова Н.И., Серебренникова О.В. Изучение состава и свойств нефтей Нижневартовского свода. / Сб. научн. труд. Ред. Г.Ф. Большаков – Томск, 1984.
33. Boucher L.J., Tynan E.C., Yen T.F. // Inorg. Chem. – 1968. – 7, Т 4. – P. 731.
34. Маров И.Н., Костромина Н.А. ЭПР и ЯМР в химии координационных соединений. – М.: Наука, 1979.
35. Куска Х., Роджерс М. ЭПР комплексов переходных металлов. – М.: Мир, 1970.
36. Aizenshtat Z., Pinsky I., Spiro B. // Org. Geochem. – 1986. – 9, N 6. – P. 321.
37. Nansheng Q., Jiyang W. // Ibid. – 1998. – 28, N 1/2. – P. 77.